562 Notizen

## **NOTIZEN**

## Tetraphenylphosphoniumoctabromodiantimonat, (PPh<sub>4</sub>)<sub>2</sub>[Sb<sub>2</sub>Br<sub>8</sub>]. Synthese und Kristallstruktur

Tetraphenylphosphonium Octabromodiantimonate, (PPh<sub>4</sub>)<sub>2</sub>[Sb<sub>2</sub>Br<sub>8</sub>]. Synthesis and Crystal Structure

Abdulalah T. Mohammed und Ulrich Müller\*

Fachbereich Chemie der Universität Marburg, Hans-Meerwein-Straße, D-3550 Marburg

Z. Naturforsch. **40b**, 562–564 (1985); eingegangen am 15. November 1984

Tetraphenylphosphonium Octabromodiantimonate, Crystal Structure

(PPh<sub>4</sub>)<sub>2</sub>[Sb<sub>2</sub>Br<sub>8</sub>] can be prepared from SbBr<sub>3</sub> and PPh<sub>4</sub>Br in CH<sub>2</sub>Br<sub>2</sub> or from Sb<sub>2</sub>S<sub>3</sub>, PPh<sub>4</sub>Br and HBr in 1,2-dichloroethane. Its crystal structure was determined with X-ray diffraction data (2764 observed reflexions, R=0.039). Crystal data: triclinic, space group P1, a=1024.9, b=1127.1, c=1282.4 pm,  $\alpha=111.80$ ,  $\beta=94.52$ ,  $\gamma=106.92^{\circ}$ , Z=1. The centrosymmetric [Sb<sub>2</sub>Br<sub>8</sub>]<sup>2-</sup> ions consist of two square pyramids sharing a basal edge. The cations are grouped to (PPh<sub>4</sub>+)<sub>2</sub> pairs similarly as in (PPh<sub>4</sub>)<sub>2</sub>[As<sub>2</sub>Cl<sub>8</sub>]; although the latter compound has a comparable general crystal packing, it is not isotopic. IR and Raman spectral data are reported.

Die Ionen  $MX_4^-$  mit M=As, Sb, Bi and X=Cl, Br können je nach Kation unterschiedliche Strukturen und Assoziationsgrade haben. Bekannt sind die dimeren Ionen  $[As_2Cl_8]^{2^-}$  [1, 2],  $[As_2Br_8]^{2^-}$  [3],  $[Sb_2Cl_8]^{2^-}$  [4] und  $[Bi_2Cl_8]^{2^-}$  [5], das tetramere  $[Sb_4Cl_{16}]^{4^-}$  [4] und polymere Spezies  $[SbCl_4^-]_x$  [6–9]. Die Art des Kations scheint wesentlichen Einfluß auf die Struktur des Anions zu haben. Mit dem Tetraphenylphosphonium hatten wir beim  $[As_2Cl_8]^{2^-}$ -Ion einen zentrosymmetrischen, dimeren Aufbau gefunden. Die vorliegende Untersuchung am  $(PPh_4)_2[Sb_2Br_8]$  zeigt, daß dies auch für das  $[Sb_2Br_8]^{2^-}$ -Ion gilt.

(PPh<sub>4</sub>)<sub>2</sub>[Sb<sub>2</sub>Br<sub>8</sub>] haben wir auf zwei Wegen synthetisiert. *Methode I:* Frisch sublimiertes SbBr<sub>3</sub>, gelöst in wasserfreiem CH<sub>2</sub>Br<sub>2</sub>, wird zu einer äquimolaren Lösung von PPh<sub>4</sub>Br in CH<sub>2</sub>Br<sub>2</sub> getropft. Nach Zusatz von CCl<sub>4</sub> bis zur beginnenden Trübung kristallisiert (PPh<sub>4</sub>)<sub>2</sub>[Sb<sub>2</sub>Br<sub>8</sub>] im Verlaufe einiger Tage aus; Kühlung auf 5 °C erhöht die Ausbeute auf 94%. Das Produkt wird abgefrittet und im Vakuum getrocknet. *Methode II:* In eine Lösung von PPh<sub>4</sub>Br in wasser-

freiem 1,2-Dichlorethan wird etwas mehr als die stöchiometrische Menge  $Sb_2S_3$  eingetragen. Während die Lösung unter Rückfluß kocht, wird unter Rühren ein trockener HBr-Gasstrom eingeleitet bis die  $H_2S$ -Entwicklung beendet ist und das  $Sb_2S_3$  (abgesehen vom Überschuß) in Lösung gegangen ist. Die Reaktion verläuft nach

 $2PPh_4Br + Sb_2S_3 + 6HBr \rightarrow (PPh_4)_2[Sb_2Br_8] + 3H_2S.$ 

Die Lösung wird noch 2 h gekocht. Nachdem sie abgekühlt ist, wird das überschüssige Sb<sub>2</sub>S<sub>3</sub> abgefrittet und dem Filtrat CCl<sub>4</sub> bis zur beginnenden Trübung zugesetzt. Im Verlauf von zwei Tagen kristallisiert (PPh<sub>4</sub>)<sub>2</sub>[Sb<sub>2</sub>Br<sub>8</sub>] aus; Zusatz von weiterem CCl<sub>4</sub> erhöht die Ausbeute auf über 80%.

Alle Operationen werden unter Ausschluß von Feuchtigkeit durchgeführt.

 $(PPh_4)_2[Sb_2Br_8]$ 

Ber. C 36,90 H 2,56 Sb 15,60 Br 40,95 P 3,97, Gef. I C 36,76 H 2,67 Sb 16,12 Br 41,10 P 4,13, Gef. II C 37,02 H 2,65 Sb 16,4 Br 39,77 P 4,11.

IR-Spektrum (Mineralölsuspension, Meßbereich  $40-400~{\rm cm}^{-1}$ , Interferometer Beckman-RIIC FS 720): 227 st  $\nu_{\rm as}$  Br(2)-Sb-Br(3), 195 vst  $\nu$  Ring, 180 vst  $\nu$  Ring, 109 st, 92 w, 80 vw, 68 vw, 46 m; alle Symmetrierasse  $A_{\rm u}$ . Raman-Spektrum (Gerät Cary 83, Anregung mit Ar-Laser 514,5 nm): 254 st  $\nu$  Sb-Br(4), 237 st  $\nu_{\rm as}$  Br(2)-Sb-Br(3), 219 st  $\nu_{\rm s}$  Br(2)-Sb-Br(3), 95 sh, 86 m; alle Symmetrierasse  $A_{\rm g}$ . Intensitätsangaben: vst = sehr stark, st = stark, m = mittel, w = schwach, vw = sehr schwach, sh = Schulter

Strukturbestimmung. Messung von 3151 Reflexen mit einem Vierkreisdiffraktometer CAD4 der Firma Enraf-Nonius. Meßbedingungen: MoKα-Strahlung (Graphit-Monochromator),  $\omega/\theta$ -scan,  $\theta < 22^{\circ}$ . Lorentz-, Polarisationsfaktor- und Absorptionskorrektur ( $\mu = 71.4 \text{ cm}^{-1}$ ). 387 Reflexe mit I <  $\sigma$ (I) als unbeobachtet gewertet, jedoch mit I =  $1/4 \sigma(I)$  berücksichtigt. Schweratomlagen durch Patterson-Synthese ermittelt, Leichtatome durch Differenz-Fourier-Synthese. Verfeinerung durch Minimalisieren von  $\Sigma w(|Fo|-|Fc|)^2$  mit  $w = 0.16/\sigma^2(F)$  aus der Zählstatistik der Meßwerte. Phenylgruppen als starre Gruppen behandelt (C-C 139,5, C-H 108 pm). Anisotrope Temperaturfaktoren für Sb, Br, P, isotrope für C, ein gemeinsamer isotroper für H. Atomformfaktoren, Parameter der anomalen Dispersion: [10, 11]. Rechenprogramme: [12-14]. Erreichter Übereinstimmungsindex  $R = \Sigma ||Fo| - |Fc||/\Sigma |Fo|$ 

<sup>\*</sup> Sonderdruckanforderungen an Prof. Dr. U. Müller. Verlag der Zeitschrift für Naturforschung, D-7400 Tübingen 0340–5087/85/0400–0562/\$ 01.00/0

Tab. I. Atomkoordinaten und Parameter der thermischen Schwingung. U-Werte als  $10^{20}$ -fache in  $m^2~(=~\mathring{A}^2)$ , bezogen auf den Temperaturfaktor  $\exp(-8\pi^2 U~\sin^2\theta/\lambda^2)$ ; für Sb, Br und P berechnet als äquivalenter Wert aus den anisotropen Temperaturfaktoren. Standardabweichungen der letzten Stellen in Klammern.

Atom	x	у	z	U
Anion				
Sb	0,0632(1)	0,2218(1)	0,0615(1)	0,0433(9)
Br(1)	0,0069(2)	0,0158(1)	0,1687(1)	0,062(1)
Br(2)	0,1044(2)	0,4264(1)	0,2612(1)	0,062(1)
Br(3)	0.0936(2)	0,3700(1)	-0.0555(1)	0.074(1)
Br(4)	0,3184(1)	0,2451(1)	0,0919(1)	0,060(1)
Kation				
P	0,6265(4)	0,1033(3)	0,3309(3)	0,040(3)
C(11)	0,5230(9)	0,1912(8)	0,4104(6)	0,033(4)
C(12)	0,3960(9)	0,1799(8)	0,3523(6)	0,046(4)
C(13)	0,3214(9)	0,2607(8)	0,4089(6)	0,056(4)
C(14)	0,3737(9)	0,3529(8)	0,5236(6)	0,054(4)
C(15)	0,5007(9)	0,3643(8)	0,5817(6)	0,048(4)
C(16)	0,5753(9)	0,2835(8)	0,5251(6)	0,039(4)
C(21)	0,786(1)	0,1400(8)	0,4274(7)	0,038(4)
C(22)	0.897(1)	0,2552(8)	0,4499(7)	0.047(4)
C(23)	1,012(1)	0,2939(8)	0,5366(7)	0.071(5)
C(24)	1,011(1)	0,2175(8)	0,6009(7)	0,066(5)
C(25)	0.895(1)	0,1023(8)	0,5785(7)	0.066(5)
C(26)	0,781(1)	0,0636(8)	0,4917(7)	0.052(4)
C(31)	0,5431(9)	-0.0761(8)	0,2655(7)	0.031(4)
C(32)	0,4015(9)	-0.1374(8)	0,2590(7)	0.041(4)
C(33)	0,3389(9)	-0,2788(8)	0,2043(7)	0.047(5)
C(34)	0,4181(9)	-0.3589(8)	0,1561(7)	0.054(5)
C(35)	0,5597(9)	-0.2976(8)	0,1627(7)	0,053(4)
C(36)	0,6222(9)	-0.1562(8)	0,2174(7)	0.041(4)
C(41)	0.6631(8)	0.1705(7)	0,2261(8)	0.028(4)
C(42)	0,6725(8)	0.0893(7)	0,1163(8)	0.043(4)
C(43)	0,7055(8)	0,1462(7)	0,0378(8)	0,046(4)
C(44)	0,7290(8)	0,2844(7)	0,0691(8)	0,049(4)
C(45)	0,7195(8)	0,3656(7)	0,1789(8)	0.058(5)
C(46)	0,6866(8)	0,3087(7)	0,2574(8)	0,048(4)

3,9% (beobachtete Reflexe), 4,6% (alle Reflexe). Atomkoordinaten: Tab. I.\*

 $(PPh_4)_2[Sb_2Br_8]$  kristallisiert triklin in der Raumgruppe P1 mit einer Formeleinheit pro Elementarzelle. Gitterkonstanten:

$$a = 1024,9(4), b = 1127,1(4), c = 1282,4(3) \text{ pm},$$
  
 $\alpha = 111,80(2), \beta = 94,52(2), \gamma = 106,92(2)^{\circ}.$ 

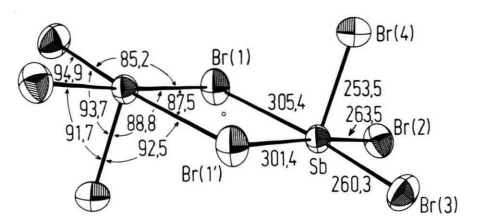


Abb. 1. Das  $[Sb_2Br_8]^{2-}$ -Ion mit Ellipsoiden der thermischen Schwingung (50% Aufenthaltswahrscheinlichkeit bei 22 °C). Bindungsabstände in pm, Winkel in Grad. Standardabweichungen: Abstände 0,1 pm, Winkel 0,1°. Br(1)-Sb-Br(2): 92,1°, Br(1)-Sb-Br(3): 172,4°.

Das [Sb<sub>2</sub>Br<sub>8</sub>]<sup>2-</sup>-Ion ist exakt zentrosymmetrisch. Es hat die Gestalt von zwei quadratischen Pyramiden, die eine gemeinsame Basiskante besitzen (Abb. 1). In trans-Stellung zum Atom Br(4) muß man sich das einsame Elektronenpaar denken; mit ihm wird die quadratische Pyramide zu einem Oktaeder ergänzt. Die Sb-Br-Bindungen zu den verbrückenden Atomen sind unterschiedlich lang (Abb. 1); ebenso die zu ihnen trans-ständigen Sb-Br-Bindungen, wobei dem längeren Sb-Br-Brückenabstand der kürzere terminale Sb-Br-Abstand gegenübersteht. Hierin gibt sich ein deutlicher trans-Effekt zu erkennen. Die Bindung Sb-Br(4), zu der es keine trans-ständige Gruppe gibt, ist am kürzesten; mit 253,5 pm liegt sie an der oberen Grenze der Werte, die für das SbBr3-Molekül bekannt sind [15, 16].

Insgesamt sind die Verhältnisse ganz ähnlich wie beim  $[As_2Cl_8]^{2^-}$ -[1, 2],  $[Sb_2Cl_8]^{2^-}$ -[4] und  $[As_2Br_8]^{2^-}$ -Ion [3]; bei letzterem unterscheiden sich die Bindungslängen zu den verbrückenden und den terminalen Br-Atomen allerdings erheblich mehr voneinander, d.h. das  $[As_2Br_8]^{2^-}$ -Ion tendiert schon deutlich in Richtung auf monomere  $AsBr_4^-$ -Ionen.

Die Packung im Kristall hat Ähnlichkeit zu der im (PPh<sub>4</sub>)<sub>2</sub>[As<sub>2</sub>Cl<sub>8</sub>] [1]. Wie bei diesem sind die PPh<sub>4</sub><sup>+</sup>-Ionen paarweise zusammengelagert; das (PPh<sub>4</sub><sup>+</sup>)<sub>2</sub>-Paar ist um das Inversionszentrum in 1/2, 0, 1/2 angeordnet, wobei drei Phenylgruppen des einen Ions drei Phenylgruppen des anderen Ions auf Lücke gegenüberstehen. Trotzdem sind die beiden Verbindungen nicht isotyp, sowohl die Metrik der Elementarzellen als auch die Orientierung der Anionen unterscheiden sich.

Dem Fonds der Chemischen Industrie danken wir für die Unterstützung dieser Arbeit.

<sup>\*</sup> Die Liste der anisotropen Temperaturfaktoren und der Strukturfaktoren kann beim Fachinformationszentrum Energie-Physik-Mathematik, D-7514 Eggenstein-Leopoldshafen unter Angabe der Hinterlegungsnummer CSD 51192, der Autoren und des Zeitschriftenzitats angefordert werden.

<sup>[1]</sup> A. T. Mohammed und U. Müller, Acta Crystallogr. **C41** (1985), im Druck.

<sup>[2]</sup> J. Kaub und W. S. Sheldrick, Z. Naturforsch. 39b, 1252 (1984).

- [3] J. Kaub und W. S. Sheldrick, Z. Naturforsch. 39b, 1257 (1984).
- [4] U. Ensinger, W. Schwarz und A. Schmidt, Z. Naturforsch. 37b, 1584 (1982).
- [5] A. Hershaft und J. D. Corbett, Inorg. Chem. 2, 979 (1963).
- [6] U. Ensinger, W. Schwarz und A. Schmidt, Z. Naturforsch. 38b, 149 (1983).
- [7] S. K. Porter und R. A. Jacobson, J. Chem. Soc. A 1970, 1356.
- [8] A. Lipka und D. Mootz, Z. Anorg. Allg. Chem. 440, 231 (1978).
- [9] A. Lipka, Z. Anorg. Allg. Chem. 469, 218 (1980).
- [10] D. T. Cromer und J. B. Mann, Acta-Crystallogr. **A24**, 321 (1968).

- [11] D. T. Cromer und D. Liberman, J. Chem. Phys. 53, 1891 (1970).
- [12] U. Müller, CADLP, Programm zur Auswertung und Lp-Korrektur von Diffraktometerdaten. Marburg 1971.
- [13] G. Sheldrick, SHELX-76, Program for Crystal Structure Determination. Cambridge 1976.
- [14] C. L. Johnson, ORTEP. Report ORNL-3794, Oak Ridge National Laboratory, Tennessee 1964.
- [15] D. W. Cushen und R. Hulme, J. Chem. Soc. 1962, 2218 und 1964, 4162.
- [16] S. Konaka und M. Kimura, Bull. Soc. Chem. Jpn. 46, 413 (1973).